Interazioni Elettrodeboli

prof. Francesco Ragusa Università di Milano

Lezione n. 11

04.11.2025

Propagatore e invarianza di gauge Teoria di Fermi del decadimento β Cinematica e spazio delle fasi

anno accademico 2025-2026

• Abbiamo detto che il propagatore fotonico è la funzione di Green dell'equazione del potenziale ${\cal A}_\mu$

$$\Box D_{\mu\nu} (x_1 - x_2) = g_{\mu\nu} \delta^4 (x_1 - x_2)$$

- Siamo interessati alla sua trasformata di Fourier $\widetilde{D}_{\mu\nu}\left(q
 ight)=\int D_{\mu
 u}\left(x
 ight)e^{-iq\cdot x}d^{4}x$
 - ullet Nel dominio della variabile q l'equazione diventa

$$-q^2 \widetilde{D}_{\mu\nu}(q) = g_{\mu\nu} \qquad \qquad \widetilde{D}_{\mu\nu}(q) = -\frac{g_{\mu\nu}}{q^2}$$

- Tuttavia sappiamo che l'equazione di A_μ non è la più generale
 - La forma che consideriamo presuppone il gauge di Lorentz $\partial^{\mu}A_{\mu}=0$
 - Nel caso generale (senza fissare il gauge)

$$\Box A_{\mu} = 0 \qquad \Box A_{\mu} - \partial_{\mu} \partial_{\nu} A^{\nu} = 0 \qquad (\Box g_{\mu\nu} - \partial_{\mu} \partial_{\nu}) A^{\nu} = 0$$

- Verifichiamo che l'operatore $\Box g_{\mu\nu}-\partial_\mu\partial_\nu$ non ha un operatore inverso come avviene invece per l'equazione dell'onda precedente
 - Nello spazio dei momenti $~\hat{O} = -q^2 g_{\mu\nu} + q_\mu q_\nu$
 - Cerchiamo l'operatore inverso nella forma $~\hat{O}^{-1}=Ag_{\mu\nu}+Bq_{\mu}q_{\nu}$
 - Cerchiamo A e B tali che $\hat{O}\hat{O}^{-1}=1$

$$\hat{O} = -q^2 g_{\mu\nu} + q_{\mu} q_{\nu}$$

$$\hat{O}^{-1} = Ag_{\mu\nu} + Bq_{\mu}q_{\nu}$$

$$\hat{O}\hat{O}^{-1} = 1$$

Abbiamo

$$\hat{O}\hat{O}^{-1} = (-q^2 g_{\mu\sigma} + q^{\mu} q^{\sigma})(Ag_{\sigma\nu} + Bq_{\sigma}q_{\nu}) = \delta^{\mu}_{\nu}$$

Sviluppando

$$\hat{O}\hat{O}^{-1} = -q^2 A \delta^{\mu}_{\nu} \left(-B q^{\nu} q^{\mu} q_{\nu} + A q^{\mu} q_{\nu} + B q^{\nu} q^{\mu} q_{\nu} \right) = -q^2 A \delta^{\mu}_{\nu} + A q^{\mu} q_{\nu} = \delta^{\mu}_{\nu}$$

• Pertanto l'operatore non ha un inverso

impossibile

ullet Il problema viene risolto generalizzando l'equazione d'onda del potenziale $A_{\scriptscriptstyle H}$

$$\Box A_{\mu} - \partial_{\mu} \partial_{\nu} A^{\nu} = 0$$



$$\Box A_{\mu} - \partial_{\mu} \partial_{\nu} A^{\nu} = 0 \qquad \Longrightarrow \qquad \Box A_{\mu} - \partial_{\mu} \partial_{\nu} A^{\nu} + \frac{1}{\xi} \partial_{\mu} \partial_{\nu} A^{\nu} = 0$$

La generalizzazione equivale ad aggiungere un termine nella Lagrangiana

$$\mathfrak{L} = -\frac{1}{4} F_{\mu\nu} F^{\mu\nu}$$

$$\mathfrak{L} = -\frac{1}{4} F_{\mu\nu} F^{\mu\nu} \qquad \qquad \mathfrak{L}_{\xi} = -\frac{1}{4} F_{\mu\nu} F^{\mu\nu} - \frac{1}{2\xi} \left(\partial_{\mu} A^{\mu} \right)^{2}$$

Verifichiamo che con guesta generalizzazione l'inverso esiste ed è

$$\widetilde{D}_{\mu\nu}(q) = \frac{1}{q^2} \left[-g_{\mu\nu} + \frac{(1-\xi)q_{\mu}q_{\nu}}{q^2} \right]$$

- Utilizziamo la stessa ipotesi $\ \hat{O}^{-1} = A g_{\sigma \nu} + B q_{\sigma} q_{\nu}$
 - Abbiamo

$$\hat{O}\hat{O}^{-1} = \left(-q^2 g_{\mu\sigma} + \left(1 - \frac{1}{\xi}\right) q^{\mu} q^{\sigma}\right) (Ag_{\sigma\nu} + Bq_{\sigma}q_{\nu}) = \delta^{\mu}_{\nu}$$

Sviluppando

$$\hat{O}\hat{O}^{-1} = -q^2 A \delta^{\mu}_{\nu} - B q^2 q^{\mu} q_{\nu} + \left(1 - \frac{1}{\xi}\right) A q^{\mu} q_{\nu} + \left(1 - \frac{1}{\xi}\right) B q^2 q^{\mu} q_{\nu}$$

• Uguagliamo rispettivamente a 1 e a 0 i coefficienti di $\delta_{\mu
u}$ e $q_{\mu}q_{
u}$

$$-Aq^2 = 1 \qquad \left(-Bq^2 + \left(1 - \frac{1}{\xi}\right)A + \left(1 - \frac{1}{\xi}\right)Bq^2 \right)q^\mu q_\nu = 0$$

Otteniamo

$$A=-\frac{1}{q^2} \qquad \text{inserendo nella seconda equazione} \qquad -Bq^2\frac{1}{\xi}=\frac{1}{q^2}\Big(1-\frac{1}{\xi}\Big)$$

- E infine $B = -\frac{1}{q^2} \frac{\xi 1}{q^2}$
- · Pertanto il propagatore è

$$\widetilde{D}_{\mu\nu}(q) = \frac{1}{q^2} \left[-g_{\mu\nu} + \frac{\left(1 - \xi\right)q_{\mu}q_{\nu}}{q^2} \right]$$

- Il parametro ξ permette di fissare il gauge
 - Il propagatore del fotone dipende dal gauge
 - Fra i valori di ξ più usati
 - Il gauge di Feynman $\xi=1$ che coincide con il gauge di Lorentz
 - Il gauge di Landau $\xi=0$
- Naturalmente il risultato fisico non può dipendere dal gauge
 - L'elemento di matrice deve essere indipendente da ξ
- La conservazione della corrente elettromagnetica assicura che l'elemento di matrice sia indipendente dal gauge
 - Ricordiamo il risultato della diapositiva 270

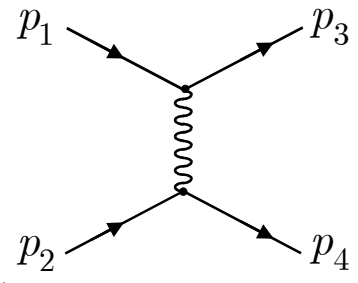
$$\mathfrak{M}_{fi} = -i\frac{e^2}{2}\overline{u}_{p_3}\gamma^{\mu}u_{p_1}\widetilde{D}_{\mu\nu}(q)\overline{u}_{p_4}\gamma^{\nu}u_{p_2} \qquad q = p_4 - p_2 = -(p_3 - p_1)^{T}$$

• Gli elementi di matrice delle correnti originavano da termini

$$j^{\mu}(x) = \left\langle \mathbf{p}_4 \mid \widehat{j}^{\mu}(x) \mid \mathbf{p}_2 \right\rangle = -e\overline{u}_{\mathbf{p}_4} \gamma^{\mu} u_{\mathbf{p}_2} e^{-i(p_4 - p_2) \cdot x}$$

• Per l'invarianza di gauge della teoria questa corrente è conservata

$$\partial_{\mu}j^{\mu}(x) = -e\overline{u}_{\mathbf{p}_{4}}\gamma^{\mu}u_{\mathbf{p}_{2}}\partial_{\mu}e^{-iq\cdot x} = ie\overline{u}_{\mathbf{p}_{4}}\gamma^{\mu}u_{\mathbf{p}_{2}}(p_{4} - p_{2})_{\mu}e^{-iq\cdot x} = ie\overline{u}_{\mathbf{p}_{4}}\gamma^{\mu}u_{\mathbf{p}_{2}}e^{-iq\cdot x}\mathbf{q}_{\mu}$$



$$\partial_{\mu}j^{\mu}(x) = ie\overline{u}_{\mathbf{p}_4}\gamma^{\mu}u_{\mathbf{p}_2}(p_4 - p_2)_{\mu}e^{-iq\cdot x} = ie\overline{u}_{\mathbf{p}_4}\gamma^{\mu}u_{\mathbf{p}_2}e^{-iq\cdot x}\mathbf{q}_{\mu}$$

• Ricordiamo l'equazione di Dirac $\not p u_{\mathbf{p}} = m u_{\mathbf{p}}$

$$\partial_{\mu}j^{\mu}(x)=ie\overline{u}_{\mathbf{p}_{4}}\gamma^{\mu}q_{\mu}u_{\mathbf{p}_{2}}e^{-iq\cdot x}=ie\overline{u}_{\mathbf{p}_{4}}(\cancel{p}_{4}-\cancel{p}_{2})u_{\mathbf{p}_{2}}e^{-iq\cdot x}=ie\overline{u}_{\mathbf{p}_{4}}(m-m)u_{\mathbf{p}_{2}}e^{-iq\cdot x}=0$$

- Abbiamo pertanto verificato che per una corrente conservata $q_{\mu}\,j^{\mu}(x)=0$
- ullet Esaminiamo il propagatore nel generico gauge ullet

$$\widetilde{D}_{\mu\nu}(q) = \frac{1}{q^2} \left[-g_{\mu\nu} + \frac{\left(1 - \xi\right)q_{\mu}q_{\nu}}{q^2} \right]$$

• Osserviamo che se il propagatore è accoppiato a correnti conservate il termine gauge-dependent, che contiene $q_\mu q_\nu$, dà un contributo nullo

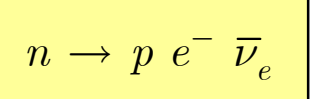
$$\mathfrak{M}_{\mathit{fi}} = -\frac{i}{2} \, j_{24}^{\mu} \, \widetilde{D}_{\mu\nu}(q) j_{13}^{\nu} \qquad \qquad j_{24}^{\mu} = e \overline{u}_{\mathbf{p}_{4}} \gamma^{\mu} u_{\mathbf{p}_{2}} \qquad \qquad j_{13}^{\mu} = e \overline{u}_{\mathbf{p}_{3}} \gamma^{\mu} u_{\mathbf{p}_{1}}$$

$$\mathfrak{M}_{\mathit{fi}} = \frac{i}{2} \, j_{24}^{\mu} \, \frac{g_{\mu\nu}}{q^{2}} \, j_{13}^{\nu} - \frac{i}{2} \frac{1 - \xi}{q^{4}} \, j_{24}^{\mu} q_{\mu} q_{\nu} j_{13}^{\nu} \qquad \qquad \textbf{Gauge independent !}$$

$$j_{24}^{\mu} q_{\mu} = 0 \qquad \qquad q_{\nu} j_{13}^{\nu} = 0 \qquad \qquad \mathfrak{M}_{\mathit{fi}} = \frac{i}{2} \, j_{24}^{\mu} \, \frac{g_{\mu\nu}}{q^{2}} \, j_{13}^{\nu}$$

Teoria di Fermi del decadimento β

• Nel decadimento β^- un neutrone all'interno del nucleo si trasforma in un protone emettendo un elettrone e un antineutrino



• All'interno del nucleo può avvenire un decadimento β^+ (proibito per un protone libero): la trasformazione di un protone in neutrone con l'emissione di un positrone e di un neutrino

$$p \to n \ e^+ \ \nu_e$$

- La prima teoria soddisfacente del decadimento β fu formulata da Enrico Fermi nel 1934
 - La storia della radioattività precedente al lavoro di Fermi a partire dalla scoperta di Bequerel è raccontata in un interessante articolo di A. Pais [1]
- Il decadimento β è dovuto ad una forza molto debole, l'Interazione Debole
 - Nonostante sia poco intensa è molto importante e determina aspetti della nostra vita quotidiana
 - Ad esempio la velocità con cui procede la reazione di produzione del deuterio all'interno del sole [2]

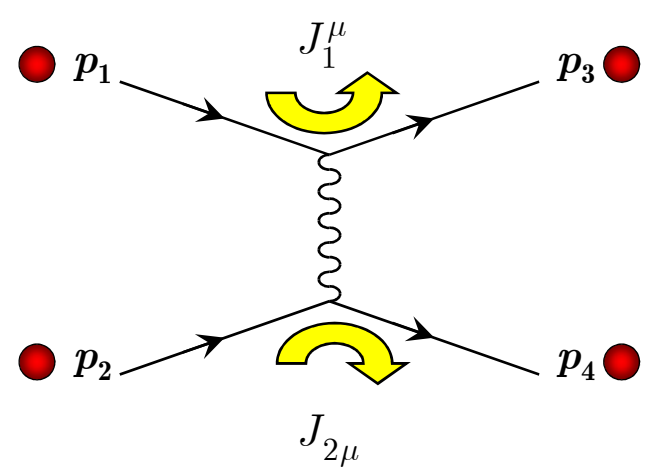
$$p p \to p n e^+ \nu \to D \gamma e^+ \nu$$

- [1] A. Pais Radioactivity's two early puzzles Reviews of Modern Physics, Vol. 49, pag. 925 1977
- [2] R. N. Cahn The eighteen arbitrary parameters of the standard model in your everyday life Review of Modern Physiscs, Vol. 68, pag. 951 - 1996



Decadimento β del neutrone

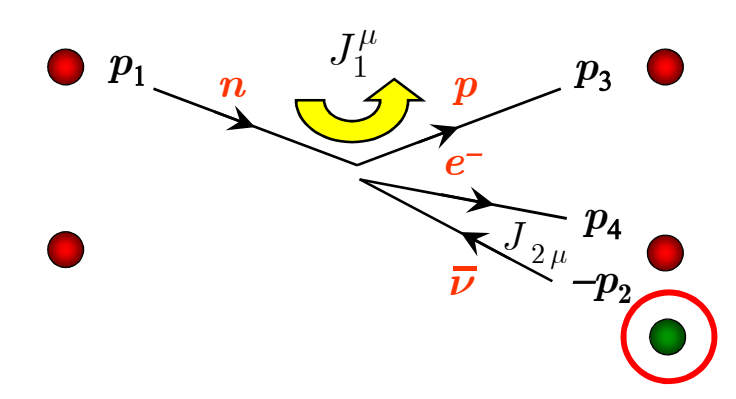
- Enrico Fermi propose una teoria per il decadimento β nel 1934
 - Fermi si ispirò all'interazione elettromagnetica di due particelle cariche che è interpretata come l'interazione di due correnti



- La corrente J_1
 - Distrugge un elettrone di momento p_1
 - ullet Crea un elettrone di momento p_3
- Analogamente, la corrente J_2
 - ullet Distrugge un elettrone di momento p_2
 - ullet Crea un elettrone di momento p_4
- Le correnti introdotte sono costruite utilizzando gli operatori di campo $\widehat{\psi}_e\left(x\right)$ per i due elettroni
- Lungo la linea di una corrente ci sono delle grandezze fisiche che si conservano
 - In questo caso
 - La carica elettrica (ψ_i distrugge -e, ψ_f crea -e)
 - Il numero fermionico

Decadimento β del neutrone

ullet Utilizzando questo modo di vedere anche per il decadimento etale due correnti hanno il seguente ruolo. La corrente J_1



- La prima è la corrente adronica
 - Conserva il numero barionico

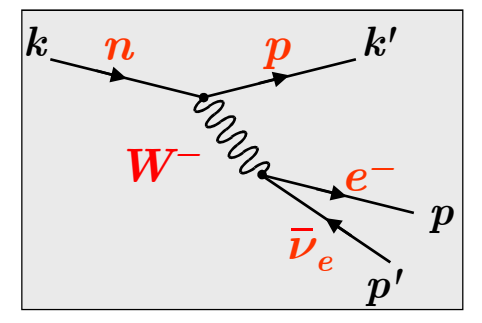
$$\left| N_n = 1 \quad N_p = 1 \qquad 1 = 1 \right|$$

- Non conserva la carica elettrica
- La seconda è la corrente leptonica
 - Conserva il numero leptonico

$$N_{e^{-}} = 1$$
 $N_{\overline{\nu}} = -1$ $0 = 1 - 1$

• Non conserva la carica elettrica

- Distrugge un neutrone n di momento p_1
- Crea un protone p di momento p_3
- La corrente J_2
 - Crea un elettrone e^- di momento $p_{\scriptscriptstyle A}$
 - Distrugge un neutrino ν di momento p_{γ}
- Ovvero
 - Crea un antineutrino $\bar{\nu}$ di momento $-p_2$
- Cosa sostituisce il fotone?
 - Fermi suppose una interazione di contatto $\tilde{D}_{\mu\nu}(x_1, x_2) = g_{\mu\nu}\delta(x_1 - x_2) \quad \mathcal{H}' \sim J^{\mu}_{\nu n}(x)g_{\mu\nu}J^{\nu}_{e\bar{\nu}}(x)$
 - Oggi interpretiamo con lo scambio di un bosone carico e con massa: W^{\pm}



Teoria di Fermi del decadimento β

 Nel linguaggio della Teoria Quantistica dei Campi il decadimento viene descritto come la transizione da uno stato iniziale ad uno finale

$$m{n}
ightarrow m{p} \; m{e}^- \; ar{
u}$$

$$|i\rangle = |n\rangle$$

$$egin{aligned} m{n}
ightarrow m{p} \ m{e}^- \ \overline{
u} \end{aligned} \qquad egin{aligned} |i
angle = |m{n}
angle & |f
angle = |m{p} \ m{e}^- \ \overline{
u}
angle \end{aligned}$$

• Sappiamo che la probabilità di transizione si calcola a partire dal corrispondente elemento della matrice S

$$S_{if} = \left\langle f \mid \widehat{S} \mid i \right\rangle$$

 \bullet L'operatore S deve contenere gli opportuni operatori di campo in modo che l'elemento di matrice sia diverso da zero

$$\widehat{\psi} = \int \frac{d^3 \mathbf{k}}{(2\pi)^3 \sqrt{2E_{\mathbf{k}}}} \sum_{\lambda} \left(u_{\mathbf{k},\lambda} \widehat{a}_{\mathbf{k},\lambda} e^{-ik \cdot x} + v_{\mathbf{k},\lambda} \widehat{b}_{\mathbf{k},\lambda}^{\dagger} e^{ik \cdot x} \right)$$

crea un antifermione

distrugge un fermione

- Nello stato iniziale viene distrutto:

 - ullet Un neutrone $ightarrow \ \psi_n$

- Nello stato finale vengono creati
 - wo Un protone $\hspace{0.4cm} o \hspace{0.4cm} \psi_{p}^{\scriptscriptstyle{\dagger}}$ ullet Un elettrone eta ψ_e^\dagger

ullet Fermi ipotizzò che l'in<u>terazione f</u>osse descritta. Un antineutrino ullet $\psi_
u$

dalla densità Hamiltoniana

$$\mathcal{H}' = Gig(ar{\psi}_p \gamma^\mu \psi_nig)ig(ar{\psi}_e \gamma_\mu \psi_
uig)$$

tutti i campi sono calcolati nello stesso punto \boldsymbol{x}

- La transizione è pertanto dovuta a una interazione di contatto e puntiforme
- Il termine di interazione da aggiungere alla Lagrangiana è $\mathcal{L}' = -\mathcal{H}'$

$$\mathcal{L}' = -\mathcal{H}'$$

Teoria di Fermi del decadimento β

- La stessa Hamiltoniana (completata con un ulteriore termine hermitiano coniugato) può descrivere altre interazioni
- Ad esempio

$$\begin{array}{c} \nu\, n \to p\,\,e^- \\ \\ \bullet \,\, {\rm Distrugge} \,\, {\rm un} \,\, {\rm neutrino} \\ \\ \bullet \,\, {\rm Distrugge} \,\, {\rm un} \,\, {\rm neutrone} \end{array}$$

- Crea un protone ←
- Crea un elettrone
- Quali altre reazioni descrive l'Hamiltoniana?
 - E in particolare, il termine h.c.
- Nota curiosa
 - La teoria di Fermi fu pubblicata in Z. Physik, 88, 161 (1934)
 - L'articolo fu prima sottoposto per la pubblicazione a Nature che lo rifiutò con la seguente motivazione
 - "... because it contains speculations too remote from reality to be of interest to the reader"

La costante G

- ullet Notiamo per finire le dimensioni della costante G
 - ullet La densità Hamiltoniana \mathcal{H}' deve avere le dimensioni di una densità di energia: $[\mathcal{H}'] = ML^{-3} = M^4$
 - Alternativamente l'integrale $\int \mathcal{L}' d^4x$ è un'azione e nelle unità di misura naturali deve essere adimensionale: $[\mathcal{L}']L^4 = [\mathcal{L}']M^{-4} \rightarrow [\mathcal{L}'] = M^4$
- ullet Le dimensioni del campo ψ si possono dedurre
 - Dal termine cinetico della lagrangiana $i \ ar{\psi} \ {\mathscr J} \ \psi$:da qui $[\psi]^2 L^{-1} = [\psi]^2 M^1 = M^4$ e infine $[\psi]^2=M^3$, $[\psi]=M^{3/2}$
 - Dalla rappresentazione integrale $\hat{\psi} = \int \frac{d^3\mathbf{k}}{(2\pi)^3 \sqrt{2E_\mathbf{k}}} \sum_{\lambda} \left(u_{\mathbf{k},\lambda} \hat{a}_{\mathbf{k},\lambda} e^{-ik\cdot x} + v_{\mathbf{k},\lambda} \hat{b}^{\dagger}_{\mathbf{k},\lambda} e^{ik\cdot x}\right)$ E inoltre $[\boldsymbol{u}] = \boldsymbol{M}^{1/2}$ e $[\boldsymbol{a}] = [\boldsymbol{b}] = \boldsymbol{M}^{-3/2}$
 - $u, v \sim \sqrt{2E}$ $\left\{a_{\mathbf{k}}, a_{\mathbf{k}'}^{\dagger}\right\} \sim \delta\left(\mathbf{k} \mathbf{k}'\right)$
- Pertanto di nuovo $[\psi]$ = $M^{3/2}$
- La dimensione della costante G risulta quindi $[G][\psi]^4 = M^4 = [G][M]^6$ da cui $\lceil G \rceil = M^{-2}$
 - Notare che nel caso della interazione elettromagnetica la costante di accoppiamento α è adimensionale

$$\alpha = \frac{e^2}{4\pi\varepsilon_0\hbar c} \approx \frac{1}{137}$$

• Nel caso dell'interazione elettromagnetica la dimensione M^{-2} necessaria per rendere adimensionale l'ampiezza è introdotta dal propagatore (q^{-2})

• L'Hamiltoniana d'interazione si ottiene integrando sul volume tridimensionale:

$$H' = \int \mathcal{H}' d^3x$$

 Per capire le transizioni che possono essere indotte da questa Hamiltoniana occorre fare riferimento allo sviluppo dei campi fermionici in operatori di creazione e annichilazione

$$\widehat{\psi} = \int \frac{d^3 \mathbf{k}}{(2\pi)^3 \sqrt{2E_{\mathbf{k}}}} \sum_{\lambda} \left(u_{\mathbf{k},\lambda} \widehat{a}_{\mathbf{k},\lambda} e^{-ik \cdot x} + v_{\mathbf{k},\lambda} \widehat{b}_{\mathbf{k},\lambda}^{\dagger} e^{ik \cdot x} \right)$$

- Notiamo che
 - Gli operatori $a_{k\lambda}$ distruggono particelle
 - ullet Gli operatori $b_{\,{f k}\lambda}$ distruggono antiparticelle
- Analogamente
 - Gli operatori $a_{\mathbf{k}\lambda}{}^{\dagger}$ creano particelle
 - Gli operatori $b_{k\lambda}^{\dagger}$ creano antiparticelle
- ullet Il campo ψ distrugge particelle, crea antiparticelle
- ullet Il campo $oldsymbol{\psi}^\dagger$ crea particelle, distrugge antiparticelle
- Notare che in ψ gli operatori b^\dagger relativi alle antiparticelle compaiono insieme all'esponenziale di "energia negativa" e agli spinori v(p)=u(-p)



- Impostiamo adesso il calcolo dell'elemento di matrice
 - Abbiamo bisogno di esprimere gli stati dello spazio di Fock utilizzando gli opportuni operatori di creazione

$$|pe^{-}\overline{\nu}\rangle = \hat{a}_{pp}^{\dagger}\hat{a}_{pe}^{\dagger}\hat{b}_{p\nu}^{\dagger}|0\rangle \qquad |pe^{-}\overline{\nu}\rangle = \hat{a}_{pp}^{\dagger}\hat{a}_{pe}^{\dagger}\hat{b}_{p\nu}^{\dagger}|0\rangle \qquad \langle pe^{-}\overline{\nu}| = \langle 0|\hat{a}_{pp}\hat{a}_{pe}\hat{b}_{p\nu}|0\rangle$$

- Per semplificare la notazione abbiamo posto: $pp \equiv p_p; pn \equiv p_n; pe \equiv p_e; p\nu \equiv p_\nu$
 - Inoltre è sottointeso che $a_{pp}^{\dagger} \equiv \sqrt{2E_{pp}}a_{pp}^{\dagger}$ (li inseriremo alla fine)
- Al primo ordine dello sviluppo perturbativo l'ampiezza della transizione è data dall'elemento di matrice dell'Hamiltoniana H' fra stato iniziale e stato finale

$$\mathcal{A}_{fi} = -i \int dt \left\langle p e^{-\overline{\nu}} \mid H_I' \mid n \right\rangle = -i \int d^4x \left\langle 0 \mid \widehat{a}_{pp} \widehat{a}_{pe} \widehat{b}_{p\nu} \mathcal{H}_I' \widehat{a}_{pn}^{\dagger} \mid 0 \right\rangle \qquad \boxed{H_I' = \int \mathcal{H}_I' d^3x}$$

- Per calcolare esplicitamente l'elemento di matrice
 - Si introduce l'espressione della densità Hamiltoniana

$$\mathcal{H}_{I}' = G(\bar{\psi}_{p}\gamma^{\mu}\psi_{n})(\bar{\psi}_{e}\gamma_{\mu}\psi_{
u})$$

Rappresentazione d'interazione

 Si sostituiscono gli operatori di campo nella densità Hamiltoniana con le rappresentazioni integrali

$$\widehat{\psi} = \int \frac{d^3 \mathbf{k}}{(2\pi)^3 \sqrt{2E_{\mathbf{k}}}} \sum_{\lambda} \left(u_{\mathbf{k},\lambda} \widehat{a}_{\mathbf{k},\lambda} e^{-ik \cdot x} + v_{\mathbf{k},\lambda} \widehat{b}_{\mathbf{k},\lambda}^{\dagger} e^{ik \cdot x} \right)$$

Otteniamo pertanto

$$\mathcal{A}_{fi} = -iG \int d^4x \langle 0 | \hat{a}_{pp} \hat{a}_{pe} \hat{b}_{p\nu} \left(\overline{\psi}_p \gamma^{\mu} \psi_n \right) \left(\overline{\psi}_e \gamma_{\mu} \psi_{\nu} \right) \hat{a}_{pn}^{\dagger} | 0 \rangle$$

- ullet Ricordiamo che tutti i campi sono calcolati nello stesso punto: $\psi(x)$
- Ricordiamo inoltre che lo spazio di Fock del nostro sistema è un prodotto tensoriale di stati di singola particella

$$|pe^{-\overline{\nu}}\rangle = \hat{a}_{pp}^{\dagger}\hat{a}_{pe}^{\dagger}\hat{b}_{p\nu}^{\dagger}|0\rangle \quad |0\rangle = |0\rangle_{p} \otimes |0\rangle_{n} \otimes |0\rangle_{e} \otimes |0\rangle_{\nu} \quad |pe^{-\overline{\nu}}\rangle = \hat{a}_{pp}^{\dagger}|0\rangle \otimes \hat{a}_{pe}^{\dagger}|0\rangle \otimes \hat{b}_{p\nu}^{\dagger}|0\rangle \otimes |0\rangle_{n}$$

· Possiamo pertanto riscrivere l'elemento di matrice come

$$\mathcal{A}_{fi} = -iG \int d^4x \langle 0 | \hat{a}_{pp} \overline{\psi}_p \gamma^{\mu} \psi_n \hat{a}_{pn}^{\dagger} | 0 \rangle \langle 0 | \hat{a}_{pe} \hat{b}_{p\nu} \overline{\psi}_e \gamma_{\mu} \psi_{\nu} | 0 \rangle$$



Consideriamo il termine leptonico

$$\langle 0 | \widehat{a}_{pe} \widehat{b}_{p\nu} \overline{\psi}_e \gamma_\mu \psi_\nu | 0 \rangle =$$

$$= \int \frac{d^3 \mathbf{k}_e}{(2\pi)^3 \sqrt{2E_e}} \frac{d^3 \mathbf{k}_\nu}{(2\pi)^3 \sqrt{2E_\nu}} \langle 0 | \widehat{a}_{pe} \widehat{b}_{p\nu} \left(\overline{u}_{ke} \widehat{a}_{ke}^{\dagger} e^{+ik_e \cdot x} + \overline{v}_{ke} \widehat{b}_{ke} e^{-ik_e \cdot x} \right) \gamma_\mu \left(u_{k\nu} \widehat{a}_{k\nu} e^{-ik_\nu \cdot x} + v_{k\nu} \widehat{b}_{k\nu}^{\dagger} e^{ik_\nu \cdot x} \right) |0\rangle$$

$$\equiv \int \frac{d^3 \mathbf{k}_e}{(2\pi)^3 \sqrt{2E_e}} \frac{d^3 \mathbf{k}_e}{(2\pi)^3 \sqrt{2E_\nu}} \langle 0 | \widehat{\mathcal{O}}_l | 0 \rangle$$

• L'ultima uguaglianza definisce l'operatore $\hat{\mathcal{O}}_l$

• Analizziamo l'operatore $\widehat{\mathcal{O}}_l$

$$\begin{split} \widehat{\mathcal{O}}_{l} &= \widehat{a}_{pe} \widehat{b}_{p\nu} \left(\overline{u}_{ke} \widehat{a}_{ke}^{\dagger} e^{+ik_{e} \cdot x} + \overline{v}_{ke} \widehat{b}_{ke} e^{-ik_{e} \cdot x} \right) \gamma_{\mu} \left(u_{k\nu} \widehat{a}_{k\nu} e^{-ik_{\nu} \cdot x} + v_{k\nu} \widehat{b}_{k\nu}^{\dagger} e^{ik_{\nu} \cdot x} \right) = \\ &= \begin{pmatrix} \widehat{a}_{pe} \widehat{b}_{p\nu} \overline{u}_{ke} \widehat{a}_{ke}^{\dagger} e^{+ik_{e} \cdot x} \gamma_{\mu} u_{k\nu} \widehat{a}_{k\nu} e^{-ik_{\nu} \cdot x} + \widehat{a}_{pe} \widehat{b}_{p\nu} \overline{v}_{ke} \widehat{b}_{ke} e^{-ik_{e} \cdot x} \gamma_{\mu} u_{k\nu} \widehat{a}_{k\nu} e^{-ik_{\nu} \cdot x} + \\ \widehat{a}_{pe} \widehat{b}_{p\nu} \overline{u}_{ke} \widehat{a}_{ke}^{\dagger} e^{+ik_{e} \cdot x} \gamma_{\mu} v_{k\nu} \widehat{b}_{k\nu}^{\dagger} e^{ik_{\nu} \cdot x} + \widehat{a}_{pe} \widehat{b}_{p\nu} \overline{a}_{k\nu} \widehat{b}_{ke} e^{-ik_{e} \cdot x} \gamma_{\mu} v_{k\nu} \widehat{b}_{k\nu}^{\dagger} e^{ik_{\nu} \cdot x} \end{pmatrix} \\ &= \begin{pmatrix} \widehat{a}_{pe} \widehat{b}_{p\nu} \widehat{a}_{ke}^{\dagger} \widehat{a}_{k\nu} \overline{u}_{ke} \times u_{k\nu} e^{i(k_{e} - k_{\nu}) \cdot x} + \widehat{a}_{pe} \widehat{b}_{p\nu} \widehat{a}_{k\nu} \underbrace{v_{ke} \gamma_{\mu} u_{k\nu} e^{-i(k_{e} + k_{\nu}) \cdot x} + \\ \widehat{a}_{pe} \widehat{b}_{p\nu} \widehat{a}_{ke}^{\dagger} \widehat{b}_{k\nu}^{\dagger} \overline{u}_{ke} \gamma_{\mu} v_{k\nu} e^{i(k_{e} + k_{\nu}) \cdot x} + \widehat{a}_{pe} \widehat{b}_{p\nu} \widehat{b}_{ke} \underbrace{v_{ke} \gamma_{\mu} v_{k\nu} e^{-i(k_{e} - k_{\nu}) \cdot x} + \\ \widehat{a}_{pe} \widehat{b}_{p\nu} \widehat{a}_{ke}^{\dagger} \widehat{b}_{k\nu}^{\dagger} \overline{u}_{ke} \gamma_{\mu} v_{k\nu} e^{i(k_{e} + k_{\nu}) \cdot x} + \widehat{a}_{pe} \widehat{b}_{p\nu} \widehat{b}_{ke} \underbrace{v_{ke} \gamma_{\mu} v_{k\nu} e^{-i(k_{e} - k_{\nu}) \cdot x} + \\ \widehat{a}_{pe} \widehat{b}_{p\nu} \widehat{a}_{ke}^{\dagger} \widehat{b}_{k\nu}^{\dagger} \overline{u}_{ke} \gamma_{\mu} v_{k\nu} e^{i(k_{e} + k_{\nu}) \cdot x} + \widehat{a}_{pe} \widehat{b}_{p\nu} \widehat{b}_{ke} \underbrace{v_{ke} \gamma_{\mu} v_{k\nu} e^{-i(k_{e} - k_{\nu}) \cdot x} + \\ \widehat{a}_{pe} \widehat{b}_{p\nu} \widehat{a}_{ke}^{\dagger} \widehat{b}_{k\nu}^{\dagger} \widehat{u}_{ke} \gamma_{\mu} v_{k\nu} e^{i(k_{e} - k_{\nu}) \cdot x} + \widehat{a}_{pe} \widehat{b}_{p\nu} \widehat{b}_{ke} \underbrace{v_{ke} \gamma_{\mu} v_{k\nu} e^{-i(k_{e} - k_{\nu}) \cdot x} + \\ \widehat{a}_{pe} \widehat{b}_{p\nu} \widehat{a}_{ke}^{\dagger} \widehat{b}_{k\nu}^{\dagger} \widehat{u}_{ke} \gamma_{\mu} v_{k\nu} e^{-i(k_{e} - k_{\nu}) \cdot x} + \widehat{a}_{pe} \widehat{b}_{p\nu} \widehat{b}_{ke} \underbrace{v_{ke} \gamma_{\mu} v_{k\nu} e^{-i(k_{e} - k_{\nu}) \cdot x} + \\ \widehat{a}_{pe} \widehat{b}_{p\nu} \widehat{a}_{ke} \widehat{a}_{ke} \widehat{a}_{k\nu} \widehat{a}_{ke} \widehat{a}_{ke} \underbrace{v_{ke} \gamma_{\mu} v_{k\nu} e^{-i(k_{e} - k_{\nu}) \cdot x} + \widehat{a}_{pe} \widehat{b}_{p\nu} \widehat{b}_{ke} \underbrace{v_{ke} \gamma_{\mu} v_{k\nu} e^{-i(k_{e} - k_{\nu}) \cdot x} + \\ \widehat{a}_{pe} \widehat{b}_{p\nu} \widehat{a}_{ke} \widehat{a}_{ke} \widehat{a}_{ke} \underbrace{v_{ke} \gamma_{\mu} v_{k\nu} e^{-i(k_{e} - k_{\nu}) \cdot x} + \widehat{a}_{pe} \widehat{b}_{p\nu} \widehat{a}_{ke} \underbrace{v_{ke} \gamma_{\mu}$$

• Esaminiamo adesso il risultato dell'applicazione di questo operatore al vuoto $\langle 0 | \widehat{\mathcal{O}}_l | 0 \rangle$

$$\widehat{a}_{pe}\widehat{b}_{p\nu}\widehat{a}_{ke}^{\dagger}\widehat{a}_{k\nu}|0\rangle = 0 \qquad \widehat{a}_{pe}\widehat{b}_{p\nu}\widehat{a}_{k\nu}\widehat{b}_{ke}|0\rangle = 0 \qquad \widehat{a}_{pe}\widehat{b}_{p\nu}\widehat{b}_{ke}\widehat{b}_{k\nu}^{\dagger}|0\rangle = \widehat{a}_{pe}\widehat{b}_{p\nu}\widehat{b}_{k\nu}^{\dagger}\widehat{b}_{ke}|0\rangle = 0$$

$$\widehat{a}_{pe}\widehat{b}_{p\nu}\widehat{b}_{ke}\widehat{b}_{k\nu}^{\dagger}|0\rangle = \widehat{a}_{pe}\widehat{b}_{p\nu}\widehat{b}_{k\nu}\widehat{b}_{ke}|0\rangle = 0$$

$$\widehat{b}_{ke}|0\rangle = 0$$

$$\widehat{b}_{ke}\widehat{b}_{k\nu}^{\dagger} = \widehat{b}_{k\nu}^{\dagger}\widehat{b}_{ke}$$

$$\widehat{b}_{ke}|0\rangle = 0$$

• Pertanto sopravvive solo il termine

$$\widehat{\mathcal{O}}_{l} = \widehat{a}_{pe} \widehat{b}_{p\nu} \widehat{a}_{ke}^{\dagger} \widehat{b}_{k\nu}^{\dagger} \overline{u}_{ke} \gamma_{\mu} v_{k\nu} e^{i(k_{e} + k_{\nu}) \cdot x}$$

Operatori di particelle differenti: commutano

- Per concludere, calcoliamo il valore di aspettazione nel vuoto $\left\langle 0\mid\widehat{\mathcal{O}}_{l}\mid 0\right\rangle =\left\langle 0\mid\widehat{a}_{pe}\widehat{b}_{p\nu}\widehat{a}_{ke}^{\dagger}\widehat{b}_{k\nu}^{\dagger}\mid 0\right\rangle \overline{u}_{ke}\gamma_{\mu}v_{k\nu}e^{i(k_{e}+k_{\nu})\cdot x}$
 - Utilizziamo le regole di commutazione per portare a destra gli operatori di distruzione

$$\left\langle 0 \mid \widehat{a}_{pe}\widehat{b}_{p\nu}\widehat{a}_{ke}^{\dagger}\widehat{b}_{k\nu}^{\dagger} \mid 0 \right\rangle = \left\langle 0 \mid \widehat{a}_{pe}\widehat{a}_{ke}^{\dagger}\widehat{b}_{p\nu}\widehat{b}_{k\nu}^{\dagger} \mid 0 \right\rangle = \left\langle 0 \mid \widehat{a}_{pe}\widehat{a}_{ke}^{\dagger}\left((2\pi)^{3}\delta^{3}\left(\mathbf{p}_{\nu} - \mathbf{k}_{\nu}\right) + \widehat{b}_{\nu\nu}^{\dagger}\widehat{b}_{p\nu}\right) \mid 0 \right\rangle \\
\left[\widehat{b}_{p\nu},\widehat{a}_{ke}^{\dagger}\right] = 0 \qquad \left\{\widehat{b}_{p\nu},\widehat{b}_{k\nu}^{\dagger}\right\} = (2\pi)^{3}\delta^{3}\left(\mathbf{p}_{\nu} - \mathbf{k}_{\nu}\right) \\
\widehat{b}_{p\nu}\mid 0 \rangle = 0$$

$$= \left\langle 0 \mid \widehat{a}_{pe} \widehat{a}_{ke}^{\dagger} \mid 0 \right\rangle (2\pi)^{3} \delta^{3} (\mathbf{p}_{\nu} - \mathbf{k}_{\nu}) = \left\langle 0 \mid 0 \right\rangle (2\pi)^{3} \delta^{3} (\mathbf{p}_{\nu} - \mathbf{k}_{\nu}) (2\pi)^{3} \delta^{3} (\mathbf{p}_{e} - \mathbf{k}_{e})$$

$$\left\{ \widehat{a}_{pe}, \widehat{a}_{ke}^{\dagger} \right\} = (2\pi)^{3} \delta^{3} (\mathbf{p}_{e} - \mathbf{k}_{e})$$

• In conclusione (inseriamo adesso esplicitamente le normalizzazioni degli stati)

$$\left\langle 0 \mid \widehat{\mathcal{O}}_{l} \mid 0 \right\rangle = \sqrt{2E_{\mathbf{p}_{e}}} \sqrt{2E_{\mathbf{p}_{\nu}}} \left(2\pi\right)^{3} \delta^{3} \left(\mathbf{p}_{\nu} - \mathbf{k}_{\nu}\right) \left(2\pi\right)^{3} \delta^{3} \left(\mathbf{p}_{e} - \mathbf{k}_{e}\right) \overline{u}_{ke} \gamma_{\mu} v_{k\nu} e^{i(k_{e} + k_{\nu}) \cdot x}$$

• Inserendo nell'espressione per $\langle 0 | \widehat{a}_{pe}\widehat{b}_{p\nu}\overline{\psi}_e\gamma_\mu\psi_\nu | 0 \rangle$ e calcolando gli integrali

$$\sqrt{0|\widehat{a}_{pe}\widehat{b}_{p\nu}\overline{\psi}_{e}\gamma_{\mu}\psi_{\nu}|0\rangle} = \int \frac{d^{3}\mathbf{k}_{e}}{(2\pi)^{3}\sqrt{2E_{e}}} \frac{d^{3}\mathbf{k}_{e}}{(2\pi)^{3}\sqrt{2E_{\nu}}} \langle 0|\widehat{\mathcal{O}}_{l}|0\rangle = \overline{\mathbf{u}}_{p_{e}}\gamma_{\mu}\mathbf{v}_{p_{\nu}}e^{i(p_{e}+p_{\nu})\cdot x}$$

momenti (esterni) delle particelle



• Un calcolo analogo per il termine adronico

$$\langle 0 | \widehat{a}_{pp} \overline{\psi}_{p} \gamma^{\mu} \psi_{n} \widehat{a}_{pn}^{\dagger} | 0 \rangle$$

$$= \int \frac{d^{3} \mathbf{k}_{p}}{(2\pi)^{3} \sqrt{2E_{kp}}} \frac{d^{3} \mathbf{k}_{n}}{(2\pi)^{3} \sqrt{2E_{kn}}} \langle 0 | \widehat{a}_{pp} \left(\overline{u}_{kp} \widehat{a}_{kp}^{\dagger} e^{+ik_{p} \cdot x} + \overline{v}_{kp} \widehat{b}_{kp} e^{-ik_{p} \cdot x} \right) \gamma^{\mu} \left(u_{kn} \widehat{a}_{kn} e^{-ik_{n} \cdot x} + v_{kn} \widehat{b}_{kn}^{\dagger} e^{ik_{n} \cdot x} \right) \widehat{a}_{pn}^{\dagger} | 0 \rangle$$

- · Questa volta possiamo individuare subito i termini che annullano il vuoto
 - L'operatore di distruzione del protone commuta con tutti gli operatori alla sua destra $\widehat{b}_{\!kp}\,|\,0\rangle=0$
 - L'operatore di creazione dell'antineutrone commuta con tutti gli operatori alla sua sinistra $\langle 0|\hat{b}_{kn}^{\dagger}=0$
- Ci riduciamo a

$$\int \frac{d^3\mathbf{k}_p}{(2\pi)^3 \sqrt{2E_{kn}}} \frac{d^3\mathbf{k}_n}{(2\pi)^3 \sqrt{2E_{kn}}} \langle 0 | \widehat{a}_{pp} \widehat{a}_{kp}^{\dagger} \widehat{a}_{kn} \widehat{a}_{pn}^{\dagger} | 0 \rangle \overline{u}_{kp} \gamma^{\mu} u_{kn} e^{i(k_p - k_n) \cdot x}$$

L'elemento di matrice si calcola facilmente

$$\langle 0 | \widehat{a}_{pp} \widehat{a}_{kp}^{\dagger} \widehat{a}_{kn} \widehat{a}_{pn}^{\dagger} | 0 \rangle = \sqrt{2E_{p_p}} \sqrt{2E_{p_n}} (2\pi)^3 \delta^3 (\mathbf{k}_n - \mathbf{p}_n) (2\pi)^3 \delta (\mathbf{k}_p - \mathbf{p}_p)$$

• Introducendo nell'integrale otteniamo

$$\left| \langle 0 | \widehat{a}_{pp} \overline{\psi}_p \gamma^{\mu} \psi_n \widehat{a}_{pn}^{\dagger} | 0 \rangle = \overline{u}_{p_p} \gamma^{\mu} u_{p_n} e^{i(p_p - p_n) \cdot x} \right|$$

· Si ottiene infine

$$\left\langle e\overline{\nu} \mid \overline{\psi}_e \gamma_\mu \psi_\nu \mid 0 \right\rangle = \langle 0 \mid \widehat{a}_{pe} \widehat{b}_{p\nu} \overline{\psi}_e \gamma_\mu \psi_\nu \mid 0 \rangle = \overline{u}_{p_e} \gamma_\mu v_{p_\nu} e^{i(p_e + p_\nu) \cdot x}$$

$$\left\langle p \mid \overline{\psi}_p \gamma^{\mu} \psi_n \mid n \right\rangle = \left\langle 0 \mid \widehat{a}_{pp} \overline{\psi}_p \gamma^{\mu} \psi_n \widehat{a}_{pn}^{\dagger} \mid 0 \right\rangle = \overline{u}_{p_p} \gamma^{\mu} u_{p_n} e^{i(p_p - p_n) \cdot x}$$

• Ricordiamo inoltre l'espressione per l'ampiezza di transizione

$$\mathcal{A}_{fi} = -iG \int d^4x \langle 0 | \hat{a}_{pp} \overline{\psi}_p \gamma^{\mu} \psi_n \hat{a}_{pn}^{\dagger} | 0 \rangle \langle 0 | \hat{a}_{pe} \hat{b}_{p\nu} \overline{\psi}_e \gamma_{\mu} \psi_{\nu} | 0 \rangle$$

Inserendo i risultati trovati si trova

$$\mathcal{A}_{\mathit{fi}} = -iG\overline{u}_{p_p}\gamma^{\mu}u_{p_n} \ \overline{u}_{p_e}\gamma_{\mu}v_{p_{
u}}\int d^4x e^{i(p_p-p_n)\cdot x}e^{i(p_e+p_{
u})\cdot x}$$

$$\mathcal{A}_{fi} = -iG\overline{u}_{p_p} \gamma^{\mu} u_{p_n} \ \overline{u}_{p_e} \gamma_{\mu} v_{p_{\nu}} (2\pi)^4 \delta^4 (p_n - p_p - p_{\nu} - p_e)$$

• L'ampiezza invariante è

$$\mathcal{A}_{fi} = \mathfrak{M}_{fi} (2\pi)^4 \delta^4 ()$$

$$\left| \, \mathfrak{M}_{\mathit{fi}} \, = -i G \overline{u}_{p_p} \gamma^{\mu} u_{p_n} \,\, \overline{u}_{p_e} \gamma_{\mu} v_{p_{
u}}
ight.$$

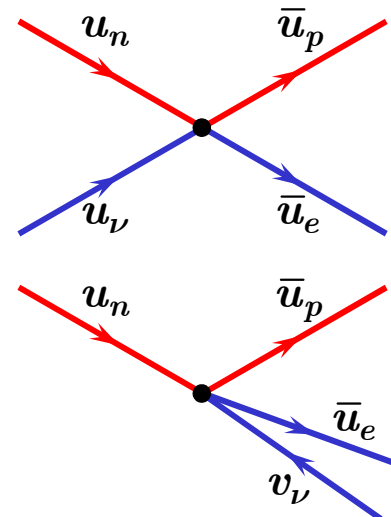
· Osserviamo che l'ampiezza non contiene il propagatore

$$\mathfrak{M}_{\mathit{fi}} \, = \, -i G \overline{u}_{p_p} \gamma^{\mu} u_{p_n} \; \, \overline{u}_{p_e} \gamma_{\mu} v_{p_{\nu}}$$

- ullet Al suo posto c'è la costante dimensionale G
- In futuro le ampiezze potranno essere scritte utilizzando regole e diagrammi di Feynman senza rifare tutto il calcolo con la teoria dei campi
- Le regole di Feynman possono essere dedotte osservando il termine della Lagrangiana relativo alla interazione fra i campi
 - Ricordiamo che $\mathcal{H}' = -\mathcal{L}'$

$$\mathcal{L}' = -G(\bar{\psi}_p \gamma^{\mu} \psi_n)(\bar{\psi}_e \gamma_{\mu} \psi_{\nu}) + h.c.$$

- Al primo ordine corrispondono i diagrammi con un solo vertice e 4 linee
 - · Le regole sono
 - ullet Particella uscente ullet spinore $ar{u}$
 - ullet Particella entrante ullet spinore u
 - Anti-particella uscente ightarrow spinore v
 - Anti-particella entrante $\;\;
 ightarrow$ spinore \overline{v}
 - Vertice fra due particelle $o \sqrt{G} \gamma^{\mu}$
 - Con queste regole si ottiene l'ampiezza che abbiamo calcolato in precedenza



Osservabili Fisiche

- Nella fisica delle particelle Elementari si studiano sostanzialmente:
 - Decadimenti:
 - · Vite medie
 - Natura delle particelle prodotte
 - Distribuzioni di energia delle particelle prodotte
 - Distribuzioni angolari delle particelle prodotte
 - Interazioni di particelle
 - · Sezioni d'urto
 - Distribuzioni di energia delle particelle prodotte
 - Distribuzioni angolari delle particelle prodotte
- La descrizione teorica di queste osservabili è simile
 - Ampiezza Invariante M
 - Flusso (sezione d'urto)
 - Spazio delle Fasi $d\,\Phi_n$

$$d\Phi_n = \prod_{i=1}^n \frac{d^3 \mathbf{p}_i}{(2\pi)^3 2E_i} (2\pi)^4 \delta^4 (p_i - p_1 - \dots - p_n)$$

$$d\Gamma = \frac{1}{2m_A} |\mathfrak{M}|^2 d\Phi_n$$

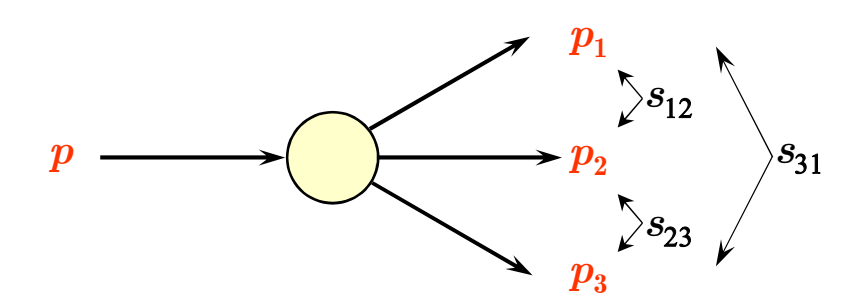
$$\frac{1}{\tau} = \Gamma = \int_{\Phi} \frac{1}{2m_A} |\mathfrak{M}|^2 d\Phi_n$$

$$d\sigma = \frac{1}{F} |\mathfrak{M}|^2 d\Phi_n$$

- Da ora in poi c=1
- Variabili invarianti nel decadimento
- La conservazione del 4-impulso è

$$p = p_1 + p_2 + p_3$$

 Sono convenienti le seguenti variabili invarianti (uguali in tutti i sistemi di riferimento inerziale)



$$s_{12} = (p_1 + p_2)^2 = (p - p_3)^2$$

$$s_{23} = (p_2 + p_3)^2 = (p - p_1)^2$$

$$s_{31} = (p_3 + p_1)^2 = (p - p_2)^2$$

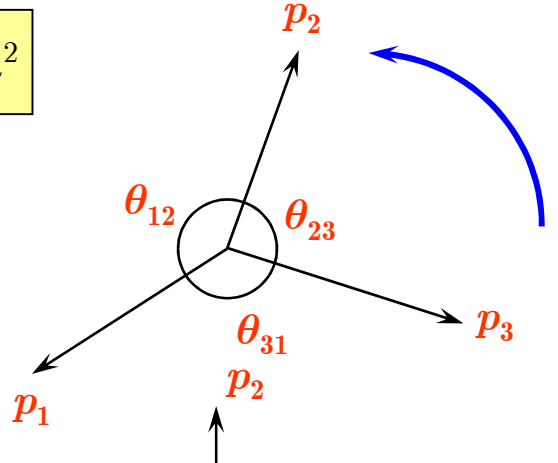
- La variabile s_{ij} è anche detta massa invariante (al quadrato) del sistema composto delle 2 particelle i e j
- Inoltre

$$s = p^2 = (p_1 + p_2 + p_3)^2 = m^2$$

· Si verifica facilmente che

$$\left| s_{12} + s_{23} + s_{31} \right| = m^2 + m_1^2 + m_2^2 + m_3^2$$

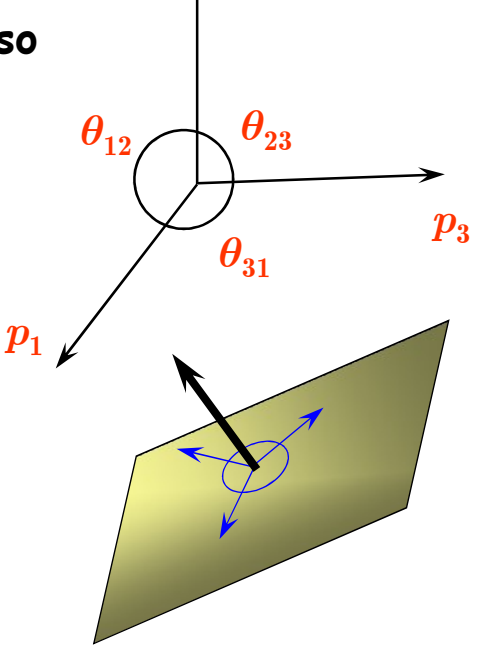
$$p = (m, \mathbf{0})$$
 $s = p^2 = m^2$
 p_1
 p_2
 p_3



- ullet Nel sistema di riferimento in cui la particella p è a riposo
 - Nel sistema di riposo la somma dei momenti dei prodotti di decadimento è nulla
 - I tre momenti giacciono su un piano
- Variabili indipendenti:
 - 3 impulsi \times 3 componenti = 9
 - 4 equazioni

$$p = p_1 + p_2 + p_3$$

- 1 angolo inessenziale di rotazione nel piano
- 2 angoli inessenziali di orientamento del piano
- Variabili indipendenti: 9-4-1-2=2
- ullet Si possono utilizzare una coppia di s_{ij} qualsiasi



• Si possono definire energie e momenti delle 3 particelle nello stato finale (nel sistema di riposo della particella p) in funzione di variabili invarianti

$$s_{23} = (p - p_1)^2 = m^2 + m_1^2 - 2mE_1$$

$$E_1 = \frac{m^2 + m_1^2 - s_{23}}{2m}$$

- ullet la stessa formula di una particella di massa m che decade in una particella di massa m_1 e una di massa $m_{23}=\sqrt{s_{23}}$
- Il momento della particella $|\mathbf{p}_1|^2 = E_1^2 m_1^2$ $|\mathbf{p}_1| = \frac{\lambda^{1/2} \left(m^2, m_1^2, s_{23}\right)}{2m}$

$$\left| \left| \mathbf{p}_{1} \right| = \frac{\lambda^{1/2} \left(m^{2}, m_{1}^{2}, s_{23} \right)}{2m} \right|$$

- La funzione $\lambda \in \lambda(x,y,z) = (x-y-z)^2 4yz$
- Analogamente si trovano le relazioni per le altre particelle:

$$\begin{split} E_1 &= \frac{m^2 + m_1^2 - s_{23}}{2m} \\ E_2 &= \frac{m^2 + m_2^2 - s_{31}}{2m} \\ E_3 &= \frac{m^2 + m_3^2 - s_{12}}{2m} \end{split}$$

$$\begin{split} \left| \mathbf{p}_{1} \right| &= \frac{\lambda^{1/2} \left(m^{2}, m_{1}^{2}, s_{23} \right)}{2m} \\ \left| \mathbf{p}_{2} \right| &= \frac{\lambda^{1/2} \left(m^{2}, m_{2}^{2}, s_{31} \right)}{2m} \\ \left| \mathbf{p}_{3} \right| &= \frac{\lambda^{1/2} \left(m^{2}, m_{3}^{2}, s_{12} \right)}{2m} \end{split}$$

Per il calcolo degli angoli si può procedere in modo analogo

$$\begin{split} s_{23} &= \left(p_2 + p_3\right)^2 \\ s_{23} &= m_2^2 + m_3^2 + 2E_2E_3 - 2\left|\mathbf{p}_2\right| \left|\mathbf{p}_3\right| \cos\theta_{23} \\ \cos\theta_{23} &= \frac{-s_{23} + m_2^2 + m_3^2 + 2E_2E_3}{2\left|\mathbf{p}_2\right| \left|\mathbf{p}_3\right|} \\ \cos\theta_{23} &= \frac{-s_{23} + m_2^2 + m_3^2 + 2E_2E_3}{2\left|\mathbf{p}_2\right| \left|\mathbf{p}_3\right|} \end{split}$$

$$\cos \theta_{23} = \frac{-s_{23} + m_2^2 + m_3^2 + 2E_2E_3}{\lambda^{1/2} \left(m^2, m_2^2, s_{31}\right) \lambda^{1/2} \left(m^2, m_3^2, s_{12}\right)}$$

$$2m^2$$

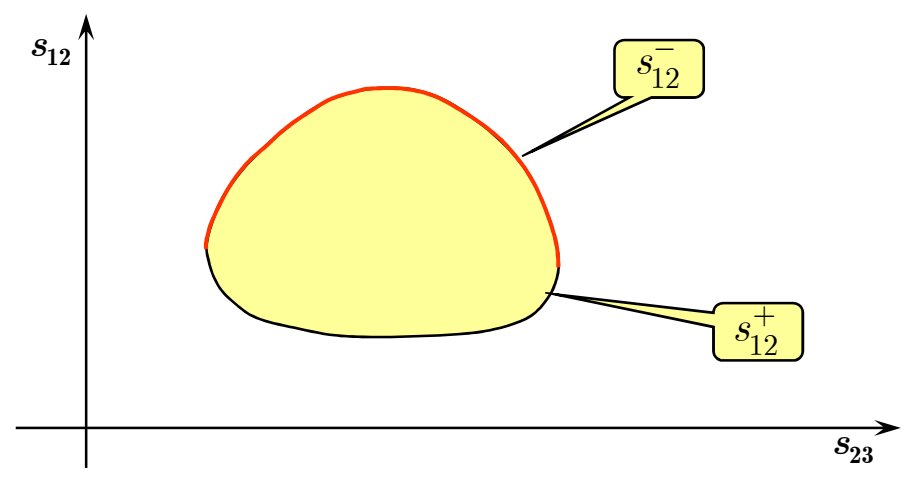
$$\cos\theta_{23} = \frac{2m^2\left(m_2^2 + m_3^2 - s_{23}\right) + 4m^2E_2E_3}{\lambda^{1/2}\left(m^2, m_2^2, s_{31}\right)\lambda^{1/2}\left(m^2, m_3^2, s_{12}\right)} \quad \begin{array}{c} \textbf{s}_{ij} \text{, tutte le altre grandezze cinematiche sono determinate} \\ \textbf{sono determinate} \end{array}$$

pertanto, una volta fissate due variabili

$$\cos\theta_{23} = \frac{2m^2\left(m_2^2 + m_3^2 - s_{23}\right) + \left(m^2 + m_2^2 - s_{31}\right)\left(m^2 + m_3^2 - s_{12}\right)}{\lambda^{1/2}\left(m^2, m_2^2, s_{31}\right)\lambda^{1/2}\left(m^2, m_3^2, s_{12}\right)}$$

Regione fisica del decadimento

• Una volta scelte due variabili s_{ij} per descrivere lo stato finale occorre definire la regione fisica che le due variabili possono assumere †



- Scegliamo, ad esempio s_{12} e s_{23} come variabili indipendenti
- L'equazione che definisce la frontiera sul piano s_{12} s_{23} è definita da

ullet La regione di variabilità di s_{23} si può trovare imponendo la realtà delle radici

$$\lambda(s_{23}, m^2, m_1^2) \ge 0$$
 $\lambda(s_{23}, m_2^2, m_3^2) \ge 0$

[†]E. Byckling, K. Kajantie - Particle Kinematics - Wiley

Regione fisica s_{23}

$$\lambda\left(s_{23}, m^2, m_1^2\right) \ge 0$$

$$(s_{23} - m^2 - m_1^2)^2 - 4m^2 m_1^2 \ge 0$$

$$\begin{cases} s_{23} - m^2 - m_1^2 \le -2m \cdot m_1 \\ m^2 + m_1^2 - s_{23} \ge 2m \cdot m_1 \end{cases}$$

$$\begin{cases} s_{23} \le (m - m_1)^2 \\ (m - m_1)^2 \ge s_{23} \end{cases}$$

$\lambda(s_{23}, m_2^2, m_3^2) \ge 0$

$$\left(s_{23} - m_2^2 - m_3^2\right)^2 - 4m_2^2 \cdot m_3^2 \ge 0$$

$$\begin{cases} s_{23} - m_2^2 - m_3^2 \ge 2m_2 \cdot m_3 \\ m_2^2 + m_3^2 - s_{23} \le -2m_2 \cdot m_3 \end{cases}$$

$$\begin{cases} s_{23} \ge \left(m_2 + m_3\right)^2 \\ \left(m_2 + m_3\right)^2 \le s_{23} \end{cases}$$

Due condizioni uguali

Due condizioni uguali

- · Combinando le due condizioni in una sola
 - Analogamente

$$(m_2 + m_3)^2 \le s_{23} \le (m - m_1)^2$$

$$\left| \left(m_1 + m_2 \right)^2 \le s_{12} \le \left(m - m_3 \right)^2 \right|$$

$$\left| \left(m_3 + m_1 \right)^2 \le s_{31} \le \left(m - m_2 \right)^2 \right|$$

Regione fisica s_{23}

- Un metodo alternativo per determinare la regione fisica fa uso dell'invarianza relativistica delle variabili s_{ij}
 - Limite superiore di $s_{23}=(p-p_1)^2=(p_2+p_3)^2$
 - Sistema di riposo della particella che decade p=(m,0)

$$s_{23} = (p - p_1)^2 = m^2 + m_1^2 - 2mE_1$$

• Naturalmente il massimo di s_{23} si ha quando E_1 è minimo cioè $E_1=m_1$

$$s_{23} \ge m^2 + m_1^2 - 2mm_1 = (m - m_1)^2$$

- Limite inferiore di $s_{23}=(p-p_1)^2=(p_2+p_3)^2$
 - Sistema del centro di massa delle particelle 2 e 3
 - In questo sistema ${f p}_2=-{f p}_3={f q}$ e inoltre $p_2+p_3=(E_2{+}E_3,\,0)$

$$s_{23} = (p_2 + p_3)^2 = (E_2 + E_3)^2 - 0 = (\sqrt{m_2^2 + \mathbf{q}^2} + \sqrt{m_3^2 + \mathbf{q}^2})^2$$

ullet Naturalmente il minimo di s_{23} si ha quando ${
m q}=0$ e pertanto

$$s_{23} \ge (m_2 + m_3)^2$$

· Calcoli analoghi per le altre variabili

Cinematica decadimento β del neutrone

- Facendo riferimento alla figura
 - Le energie sono date da

$$E_{p} = \frac{m_{n}^{2} + m_{p}^{2} - s_{e\nu}}{2m_{n}} \quad E_{e} = \frac{m_{n}^{2} + m_{e}^{2} - s_{\nu p}}{2m_{n}} \quad E_{\nu} = \frac{m_{n}^{2} - s_{pe}}{2m_{n}} \quad \frac{\mathbf{k} \ \mathbf{2}}{\mathbf{k}' \ \mathbf{3}} \mathbf{s}_{e\nu}$$

- Abbiamo appena visto che $\left(m_2+m_3
 ight)^2\leq s_{23}\leq \left(m_2-m_1
 ight)^2$ $\underline{m_e^2\leq s_{e
 u}}\leq \left(m_n-m_p
 ight)^2$
- ullet Dalla equazione per E_p possiamo ricavare

$$s_{e\nu} = m_n^2 + m_p^2 - 2m_n E_p$$
 $m_n^2 + m_p^2 - 2m_n E_p \ge m_e^2$ $\frac{m_n^2 + m_p^2 - m_e^2}{2m_n} \ge E_p$

• L'energia cinetica del protone è

$$T_p = E_p - m_p$$
 $\frac{m_n^2 + m_p^2 - m_e^2}{2m_p} - m_p \ge T_p$ $\frac{\left(m_n - m_p\right)^2 - m_e^2}{2m_p} \ge T_p$

$$\left| \frac{\left(m_n - m_p\right)^2 - m_e^2}{2m_n} \ge T_p \right|$$

Analogamente si ottiene

$$E_e \le \frac{m_n^2 - m_p^2 + m_e^2}{2m_n}$$

Cinematica decadimento eta del neutrone

- Utilizzando i valori noti delle masse
 - $m_e = 0.511 \text{ MeV}$
 - $m_n = 939.560 \text{ MeV}$
 - $m_p = 938.270 \text{ MeV}$
 - Si ottiene in definitiva $E_e \leq 1.29~{
 m MeV}$
 - Vediamo che, almeno vicino al limite della regione permessa, l'elettrone può raggiungere velocità relativistiche.
- · Analogamente, il limite superiore alla energia cinetica del protone

$$T_p \le \frac{\left(m_n - m_p\right)^2 - m_e^2}{2m_p} = 0.75 \,\text{KeV}$$

· Calcoliamo il limite superiore alla velocità del protone

$$\beta_p = \sqrt{\frac{2T_p}{m_p}} \le \sqrt{\frac{(m_n - m_p)^2 - m_e^2}{m_p m_n}} \approx \frac{\Delta m}{m_p} \approx \frac{1.29}{938} \approx 1.4 \cdot 10^{-3}$$

• Il protone è sempre non relativistico



Cinematica decadimento β del neutrone

- Riassumendo
 - Nel sistema di laboratorio l'elettrone può raggiungere velocità relativistiche
 - Il neutrino, che assumiamo avere massa nulla, ha sempre velocità relativistiche ($\beta_{\nu}=1$)
 - Il neutrone è a riposo
 - Il protone ha velocità non relativistiche
- Per i leptoni è pertanto indispensabile utilizzare una teoria relativistica
 - Utilizzeremo gli spinori quadridimensionali
- Per il protone e per il neutrone è sufficiente un'approssimazione non relativistica
 - Utilizzeremo gli spinori bidimensionali di Pauli
- Per un nucleo valgono gli stessi argomenti